

Поступило в Редакцию
8 декабря 1987 г.

Письма в ЖТФ, том 14, вып. 10

26 мая 1988 г.

ИЗЛУЧЕНИЕ ЭЛЕКТРОНОВ С ЭНЕРГИЕЙ 4.5 ГэВ В ТОЛСТОМ МОНОКРИСТАЛЛЕ АЛМАЗА

Р.О. Авакян, А.Э. Аветисян,
Р.А. Асатрян, Г.А. Вартапетян,
К.Р. Даллакян, С.С. Данагулян,
О.С. Кизогян, Э.М. Матевосян,
С.П. Тароян, Г.М. Эпбакян

Теоретическое предсказание [1] о возможности интенсивного излучения заряженных частиц, пролетающих вблизи кристаллографических осей и плоскостей (излучение при канализации), стимулировано обширные исследовательские работы по этой проблеме как в теоретическом аспекте, так и в экспериментальном.

Такой интерес к новому виду излучения при канализации частиц прежде всего обусловлен его уникальными характеристиками, такими, как высокая спектрально-угловая плотность излучения, большая степень поляризации фотонного пучка, квазимонохроматичность и т.д.

При создании высокоинтенсивных и узконаправленных пучков фотонов для прикладных задач важное место занимают исследования излучения в толстых кристаллах. Уже первые результаты в этом направлении [2-4] показали интересные особенности в процессе излучения электронов при увеличении толщины кристаллического радиатора. Был обнаружен заметный рост спектрально-угловой плотности излучения при толщинах, значения которых в 20 и более раз превышают расчетные длины деканализации. С другой стороны очевидно, что с увеличением толщины на спектрально-угловые характеристики излучения существенно могут влиять процессы многократного рассеяния частиц и их радиационные потери. Теоретические исследования влияний многократного рассеяния и радиационных потерь на динамику и характеристики излучения канализированных электронов показали существование оптимальной толщины кристалла L_0 , при которой энергетический выход излучения в заданный телесный угол является максимальным [5], а также привели к новому пониманию явления, связанного с объемным захватом и существованием аномально большой доли частиц, пробег которых в режиме канализации значительно превышает расчетную длину деканализации [6].

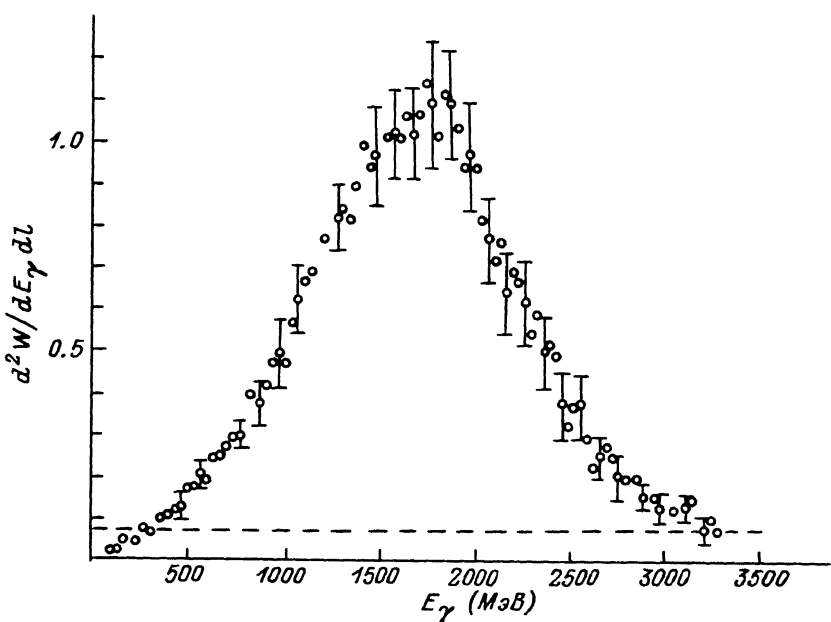


Рис. 1. Энергетический спектр излучения электронов в условиях осевого каналирования.

В настоящей работе проведены экспериментальные исследования спектрально-угловых характеристик излучения электронов с энергией 4.5 ГэВ в монокристалле алмаза толщиной 10 мм в условиях осевого и плоскостного каналирования.

Эксперимент проведен на выведенном пучке электронов Ереванского синхротрона [7]. Сформированный электронный пучок с угловой расходимостью $\pm 5 \cdot 10^{-5}$ рад и энергией частиц (4.50 ± 0.02) ГэВ попадал в вакуумную камеру гониометрической установки, где расположен кристаллический радиатор из алмаза. Точность ориентации мишени была равна $4.4 \cdot 10^{-5}$ рад. Размеры поперечного сечения пучка на мишени были равны $(2 \times 2) \text{ mm}^2$. Непосредственно перед мишенью была расположена многопроволочная пропорциональная камера (МПК) с шагом намотки проволочек 1 мм, с помощью которой регистрировались координаты взаимодействия электронов с радиатором. Для измерения спектрально-угловых и интегральных характеристик излучения электронов были использованы спектрометр полного поглощения (СПП) на основе кристалла $\text{NaJ}(Tl)$ и МПК. Размеры входного окна спектрометра составляли $(13 \times 13) \text{ cm}^2$, длина кристалла - 11.7 радиационных длин.

Мониторирование числа электронов производилось с помощью телескопа из сцинтилляционных счетчиков, который регистрировал отклоненные магнитом СП-57 вторичные электроны. Полный диапазон энергии вторичных электронов, охватываемый телескопом, был равен $(2.5-4.5)$ ГэВ.

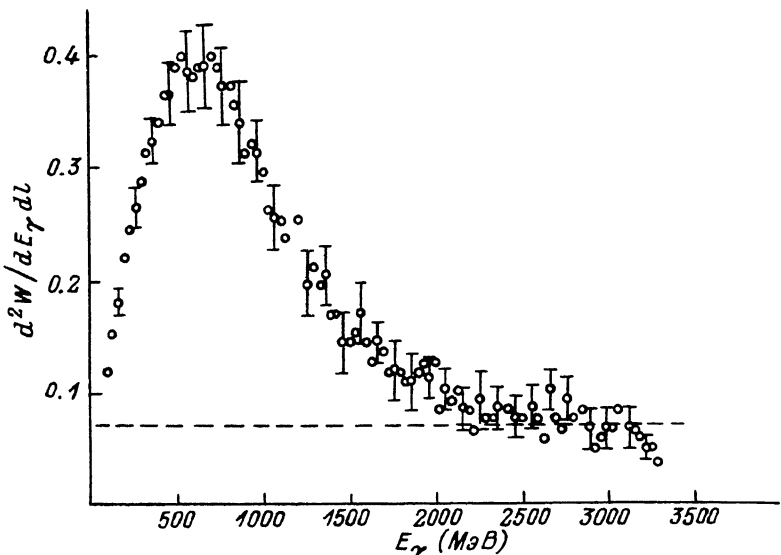


Рис. 2. Энергетический спектр излучения электронов в условиях плоскостного канализования.

Угловые распределения излученных фотонов измерялись с помощью МПК со встроенным медным конвертором толщиной 1 мм, в котором около 4% из полного числа фотонов конвертировались в электрон-позитронные пары, которые регистрировались второй и третьей пропорциональными камерами и СПП. Максимальная погрешность измерения углов вылета фотонов составляла ± 0.1 мрад.

Информация с экспериментальной установки, включающая в себя координаты взаимодействия электронов с мишенью и рождения электрон-позитронной пары, а также энергию фотона, через автоматизированную систему съема и накопления информации в стандарте КАМАК, управляемой ЭВМ „Э-60”, передавалось на ЭВМ ЕС-1022 для накопления и предварительной обработки.

В эксперименте измерены спектральные распределения и интегральные выходы излучения электронов в заданный телесный угол в условиях осевого (ось $\langle 111 \rangle$) и плоскостного (плоскость (110)) канализования. На рис. 1 и 2 представлены энергетические спектры излучения электронов в условиях осевого и плоскостного канализирования. По оси ординат отложена интенсивность излучения $d^2W/dE_\gamma dl$, приведенная на единицу длину (см) и на один электрон. Пунктирной линией обозначен уровень интенсивности для дезориентированного кристалла.

В измеренных спектрах наблюдаются пики, интенсивность которых значительно превышает интенсивность излучения в аморфной среде. Здесь так же, как и в наших предыдущих измерениях с меньшими толщиными радиаторов [3], ширины пиков излучения в режиме плоскост-

Рис. 3. Зависимость интегрального выхода излучения от угла вылета фотонов. Горизонтальная пунктирная кривая показывает уровень выхода излучения по всем углам вылета фотонов.

нного канализирования меньше, чем в случае осевого канализирования. С увеличением толщины кристалла наблюдается уширение пиков, падение интенсивности в пике и смещение пиковой энергии в стороны жестких энергий. Трансформация спектров как при осевом, так и при плоскостном канализировании с увеличением толщины, по-видимому, связана с многократным рассеянием электронов в кристалле, выхода электронов из режима канализирования и спецификой спектрометра $NaJ(Tl)$, регистрирующего два или несколько одновременно испущенных фотонов как один фотон суммарной энергии.

Наиболее интересными являются данные об интегральных потоках энергии электронов в заданный телесный угол

$$\gamma(\theta) = \left(1/E_0\right) \int_{E_0}^{\infty} (dW(\theta)/dE_y) dE_y = \Delta E/E_0,$$

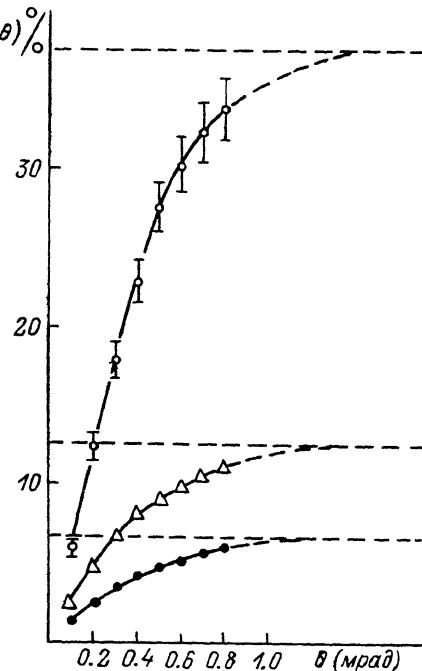
где ΔE – полная излученная энергия, E_0 – начальная энергия электронов, $dW(\theta)/dE_y$ – интенсивность излучения в телесный угол с плоскими углами, равными $\pm \theta$. На рис. 3 приведены кривые угловых зависимостей полного сброса энергии электрона γ (в процентах) для дезориентированной мишени (черные кружочки), в условиях плоскостного канализирования (треугольники) и в условиях осевого канализирования (светлые кружочки). Экспериментальные ошибки, приведенные на рисунке, являются статистическими.

Из рис. 3 можно сделать следующие заключения.

1. В условиях канализирования в плоскости (110) кристалла алмаза интегральный выход излучения растет практически линейно в зависимости от толщины (см. работу [4]).

2. Наблюдаемая высокая угловая плотность интегрального выхода излучения в условиях осевого канализирования указывает на перспективность использования ориентации кристалла $\langle 111 \rangle$ для получения интенсивных и узконаправленных пучков фотонов.

3. Основная доля излучения испускается в меньшем угловом конусе, чем это следует из расчета среднеквадратичного угла многократного рассеяния электронов в аморфном теле.



Важной характеристикой фотонного пучка является величина яркости излучения $\Delta E/\Delta\Omega$ - полная излученная энергия в единичный телесный угол, которая достигает своего максимального значения на длине λ_0 [5]. В осевом случае измеренная яркость излучения $\Delta E/\Delta\Omega = (0.53 \pm 0.04) \cdot 10^9$ МэВ/ср, что примерно вдвое меньше, чем в работе [5]. Возможно, это несогласие связано со специфическими особенностями характера многократного рассеяния электронов, пролетающих вблизи кристаллографических осей, которые не учтены в теоретической работе.

Из наших данных следует, что вопрос определения оптимальной толщины λ_0 как при плоскостном, так и при осевом канализировании электронов для энергии 4.5 ГэВ остается открытым. Необходимы дальнейшие исследования зависимости излучения от толщины в условиях канализирования частиц в различных монокристаллах.

Л и т е р а т у р а

- [1] Кимакин М.А. - Phys. Lett., 1976, 59A, р. 17.
- [2] Булгаков Н.К., Водопьянов А.С., Головатюк В.Н. и др. - Препринт ОИЯИ-1-83-640, Дубна, 1983 г.
- [3] Авакян Р.О., Авакян Э.О., Аветисян А.Э. и др. - Препринт ЕФИ 704(19)-84, Ереван, 1984.
- [4] Авакян Р.О., Аветисян А.Э., Армаганиан А.А. и др. - Письма в ЖТФ, 1985, т. 11, в. 22, с. 1393.
- [5] Байер В.Н., Катков В.Н., Страховенко В.М. - Препринт ИЯФ 84-11, Новосибирск, 1984.
- [6] Телегин В.И., Хоконов М.Х. - ЖЭТФ, 1982, т. 83, с. 260.
- [7] Авакян Р.О., Аветисян А.Э., Агаронян А.В. и др. - Препринт ЕФИ-776(3)-85, Ереван, 1985.

Ереванский физический
институт

Поступило в Редакцию
5 января 1988 г.

Письма в ЖТФ, том 14, вып. 10

26 мая 1988 г.

ВКЛАД АТОМНОГО ФАКТОРА В АНИЗОТРОПИЮ ВЫХОДА УПРУГО ОТРАЖЕННЫХ ЭЛЕКТРОНОВ ИЗ МОНОКРИСТАЛЛИЧЕСКОГО ВОЛЬФРАМА

М.В. Гомоюнова, И.И. Пронин

В последние годы в связи с продолжжающимся интенсивным развитием методов электронной спектроскопии поверхности твердого тела большое внимание уделяется изучению механизма упругого отражения электронов средней энергии от твердого тела. Было обнаружено, что в угловых распределениях электронов, упруго отраженных от поликристаллов, проявляются „аномалии”, связанные с дифференциаль-